



## بررسی اثر ابعاد بر برداشت کننده‌ی انرژی با آلیاژ حافظه‌دار مغناطیسی در دو پیکربندی مختلف

حسن صیادی<sup>۱\*</sup>، حسین رستمی نجف آبادی<sup>۲</sup>، محمد امین عسکری فرسنگی<sup>۳</sup>

۱- استاد، مهندسی مکانیک، دانشگاه صنعتی شریف، تهران

۲- دانشجوی کارشناسی ارشد، مهندسی مکانیک، دانشگاه صنعتی شریف، تهران

۳- دانشجوی دکتری، مهندسی مکانیک، دانشگاه صنعتی شریف، تهران

\* تهران، صندوق پستی ۱۱۱۵۵-۹۵۶۷

### چکیده

در این مقاله، مدل ساختاری پایه ترمودینامیکی برای مدلسازی رفتار آلیاژ حافظه‌دار مغناطیسی طی اعمال کرنش در یک سیستم برداشت کننده انرژی بکار برد شده است. در این سیستم با اعمال کرنش به آلیاژ، مغناطش داخلی آن تغییر کرده و در نتیجه شار اطراف آن تغییر می‌کند. با قرار دادن یک سیم پیچ می‌توان این تغییر شار را به ولتاژ تبدیل نمود. برای بررسی اثر تغییر ابعاد در انرژی استحصالی، فاکتور مغناطیسی زدایی برای ابعاد مختلف از رابطه تحلیلی مواد فرومغناطیسی مکعب مستطیل محاسبه و نتایج با داده‌های مرتع راستی آزمایی شده‌اند. با استفاده از این رابطه اثر تغییر ابعاد در مقادیر فاکتور مغناطیسی زدایی بررسی شده‌اند. با افزایش ضخامت آلیاژ، فاکتور مغناطیسی زدایی در راستای طولی بیشتر و در راستای عرضی کمتر می‌شود در حالی که این فاکتور برای هردو راستا با افزایش عرض قطعه افزایش می‌یابد. مدل ساختاری آلیاژ برای پیکربندی که سیم پیچ برداشت کننده دور آلیاژ پیچیده می‌شود و برای پیکربندی که از هسته فرومغناطیسی برای هدایت شار استفاده می‌شود، بکار برد شده است. شبیه‌سازی در ضخامت‌های مختلف آلیاژ نشان می‌دهد افزایش ضخامت در پیکربندی که سیم پیچ دور آلیاژ قرار دارد باعث افزایش ولتاژ بیشتر است. شبیه‌سازی در صورتی که برای پیکربندی هسته‌دار افزایش ضخامت در ضخامت‌های کم باعث افزایش ولتاژ و در ضخامت‌های زیاد افزایش کمتر ولتاژ را در می‌دارد. با افزایش عرض آلیاژ، هردو پیکربندی افزایش ولتاژ خطی دارند اگرچه در سیستم هسته‌دار شبکه افزایش ولتاژ بیشتر است. افزایش طول هم بدون این که در ولتاژ خروجی پیکربندی با سیم پیچ دور آلیاژ تغییر ایجاد کند باعث افزایش ولتاژ خروجی سیستم هسته‌دار می‌شود.

### اطلاعات مقاله

مقاله پژوهشی کامل

دربافت: ۰۲ شهریور ۱۳۹۵

پذیرش: ۰۳ دی ۱۳۹۵

ارائه در سایت: ۱۹ دی ۱۳۹۵

کلید واژگان:

آلیاژ حافظه‌دار مغناطیسی

برداشت انرژی

فاکتور مغناطیسی زدایی

مدار مغناطیسی

## An investigation on effectiveness of dimension on Magnetic Shape Memory Alloy based energy harvester with two different configurations

Hassan Sayyaadi<sup>\*</sup>, Hossein Rostami Najafabadi, Mohammad Amin Askari Farsangi

School of Mechanical Engineering, Sharif University of Technology, Tehran, Iran  
\* P.O.B. 11155-9567, Tehran, Iran, sayyaadi@sharif.edu

### ARTICLE INFORMATION

Original Research Paper

Received 23 August 2016

Accepted 23 December 2016

Available Online 08 January 2017

**Keywords:**  
Magnetic shape memory alloy  
Energy harvesting  
Demagnetization factor  
Magnetic circuit

### ABSTRACT

In this paper, a thermodynamic based constitutive model was used to model the behavior of magnetic shape memory alloy (MSMA) while applying strain in an energy harvester. In this type of energy harvester, applying strain changes the internal magnetization of MSMA and as a result changes the flux density around it. Using a coil the flux change can be converted to voltage. In order to study the effect of changing MSMA dimensions on the amount of harvested energy, the demagnetization factor for different dimensions is derived from an analytic expression for ferromagnetic prisms and the results are validated by reference data. Increasing MSMA thickness results in increasing longitudinal demagnetization factor and decreasing transversal demagnetization factor. The constitutive model of MSMA is used in modeling an energy harvester using two different configurations; one, a pickup coil turned around MSMA and second, a system with ferrromagnetic core to conduct magnetic flux and the pickup coil around core. Simulation of two models at different thicknesses shows that increasing thickness in system with coil around MSMA results in linear increase of voltage while this parameter in the second configuration leads to a nonlinear increase of voltage. Furthermore, simulations show that increase of MSMA width results in linear increase of output voltage in both configurations but with steeper rate for system with ferrromagnetic core. Finally, increasing the length of MSMA specimen shows no changes in voltage for the system with coil around MSMA, while linear increase in voltage for the system with core is recorded.

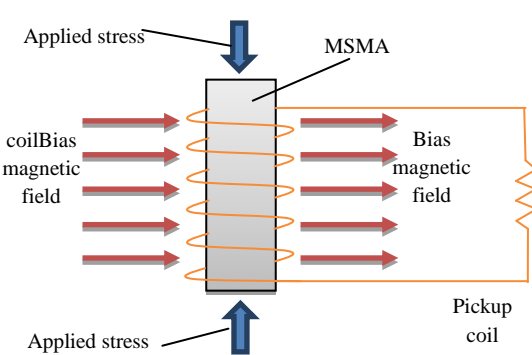
خصوصاً در مدارهای کم مصرف الکترونیکی نظری سنسورها و سیستم‌های

با توجه به اهمیت حیاتی و کاربردهای روزافزون برداشت کننده‌های انرژی، بسیم، توجه محققان و دانشمندان در سال‌های اخیر به زمینه برداشت

### ۱- مقدمه

برای ارجاع به این مقاله از عبارت ذیل استفاده نمایید:

H. Sayyaadi, H. Rostami Najafabadi, M. A. Askari Farsangi, An investigation on effectiveness of dimension on Magnetic Shape Memory Alloy based energy harvester with two different configurations, *Modares Mechanical Engineering*, Vol. 17, No. 1, pp. 136-144, 2017 (in Persian)



**Fig. 1** Schematic of energy harvesting system with configuration 1  
شکل ۱ شماتیک سیستم برداشت کننده انرژی با پیکربندی ۱

نشان دادند که وقتی نمونه به صورت دوسر گیردار تحت کرنش قرار گیرد ولتاژ بیشتری نسبت به حالت یکسر در گیر تولید می‌شود. در پژوهش آن‌ها اگرچه اثرات ناچیز شرایط مرزی آلیاز در میزان انرژی برداشتی بررسی شده است ولی سایر پارامترهای موثر مانند ابعاد آلیاز بررسی نشده است. صیادی و عسکری [13] با استفاده از یک تابع سخت‌شوندگی هایپربولیک و افزودن معادلات نفوذ<sup>۵</sup> در روابط ساختاری آلیاز، مطابقت مدل با نتایج تجربی برونو را خصوصاً در فرکانس‌های بالا و ضخامت‌های زیاد آلیاز بهبود دادند. در این مدل هم به دلیل محاسبه فاکتورهای مغناطیسی‌زادی از روش اجزاء محدود برای هر نمونه، قابلیت بررسی اثر تغییرات ابعاد به طور مستقیم و پیوسته وجود ندارد بنابرین نمی‌توان از این مدل در الگوریتم‌های بهینه‌سازی استفاده کرد.

در پیکربندی دوم، همان‌طور که در "شکل 2" نشان داده شده است، یک هسته فرومغناطیسی شار ایجاد شده توسط آهنربای‌الکتریکی را هدایت می-کند. آلیاز حافظه‌دار مغناطیسی در فاصله هوانی هسته قرار می‌گیرد و تغییر مغناطش در راستای ضخامت آن باعث تغییرات شار عبوری از هسته می‌شود. در این حالت سیم‌پیچ برداشت کننده دور هسته فرومغناطیسی پیچیده می-شود و تغییرات شار را به ولتاژ خروجی تبدیل می‌کند. این پیکربندی به علت قابلیت ایجاد میدان مغناطیسی بایاس توسط آهنربای‌های دائم مورد توجه محققان و شرکت‌های فعال در این زمینه واقع شده است [14-16]. معمولاً در مداری که انرژی برداشتی را مصرف می‌کند، اندوکتانس سیم‌پیچ برداشت-کننده باعث می‌شود قسمتی از انرژی به صورت توان غیرفعال هدر رود و همواره توان حقیقی از توان ظاهری کمتر باشد. برای رفع این مشکل، استفاده از خازن سری برای هر فرکانس در مدار الکتریکی می‌تواند با ایجاد تشددید، کل توان برداشتی را به صورت توان فعلی و به واحد مصرف کننده تحويل نماید [16,14].

برای اولین بار سورسا و همکاران [6] یک سیستم با پیکربندی مشابه "شکل 2" را برای انجام آزمایشات برداشت انرژی به کار بردن. در این تحقیق برای مدل‌سازی سیستم، مدار مغناطیسی معادل "شکل 2" با پارامترهای گستته در نظر گرفته شده و رفتار آلیاز حافظه‌دار مغناطیسی از منحنی مغناطش آلیاز (چگالی شار بر حسب میدان) در کرنش‌های مختلف بدست می‌آید. نیسکان و لایتینن [14] از شرکت آداتپامت<sup>۶</sup> با ساخت یک نمونه از این پیکربندی با قابلیت تغییر میدان بایاس، اثرات تغییر میدان را بر توان

انرژی<sup>۷</sup> جلب شده است [2,1]. مشکلات و محدودیت‌های باتری‌ها و تجهیزات انتقال توان دلایل اصلی برای برداشت انرژی الکتریکی از منابع انرژی محیطی می‌باشد [3]. در میان گزینه‌های مختلفی که برای برداشت انرژی الکتریکی از ارتعاشات وجود دارد، استفاده از مواد هوشمند<sup>۲</sup> به صورت خاص آلیاز حافظه‌دار مغناطیسی<sup>۳</sup> دارای مزایا و محدودیت‌های خاص خود می‌باشد. طول عمر بالا، قابلیت استفاده در فرکانس‌های پایین، امکان اعمال تحریک با دامنه بالا و عدم محدودیت به کارکرد در شرایط تشدید از وزیری<sup>۴</sup> ها و در مقایل، نیاز به سیم‌پیچ و میدان مغناطیسی بایاس و کارکرد در شرایط دمایی مشخص از محدودیت‌های این روش هستند [4-8]. برای تحریک این آلیاز، کرنش‌هایی تا ۶ درصد در یک راستا به آن اعمال می‌شود که دوقلوی شدن ساختار مارتنزیتی را به همراه دارد [9]. تکرار پذیری این فرایند با وجود یک میدان مغناطیسی بایاس در راستای عمود بر راستای کرنش میسر می‌شود. با حذف کرنش، این میدان بایاس آلیاز را به موقعیت اولیه باز می‌گرداند. نکته کلیدی در برداشت انرژی به کمک آلیاز حافظه‌دار مغناطیسی، تغییر مغناطش این آلیاز در اثر اعمال کرنش است. این تغییر مغناطش، شاری متغیر با زمان ایجاد می‌کند که می‌تواند به کمک یک سیم‌پیچ و براسas قانون القای فارادی<sup>۵</sup> به ولتاژ تبدیل شود. به طور کلی دو پیکربندی مختلف برای استفاده از این تغییر مغناطش ارائه شده است. در پیکربندی اول، سیم‌پیچ دور آلیاز پیچیده می‌شود به طوری که مطابق "شکل 1" محور آن در راستای اعمال تنش-کرنش قرار گیرد. تغییر مغناطش آلیاز در راستای طول، به طور مستقیم شار عبوری از سیم‌پیچ برداشت کننده را تغییر می‌دهد و باعث القای ولتاژ می‌گردد. نخستین بار کارمان و همکاران [10] با قرار دادن سیم‌پیچ دور آلیاز و اعمال تنش فشاری متناوب در راستای محور سیم‌پیچ مطابق پیکربندی "شکل 1" ولتاژ و توان خروجی از سیستم را اندازه‌گیری کردند. در این مکانیزم میدان مغناطیسی بایاس برای برگشت‌پذیری کرنش‌ها توسط آهن-رباهای الکترومغناطیسی قوی ایجاد شده‌اند. با اعمال کرنش‌هایی تا فرکانس ۱۰ هرتز آن‌ها توانستند اثرات دائمه کرنش و فرکانس را بر ماکریم ولتاژ و توان اندازه‌گیری کنند. برای مدل‌سازی سیستم آن‌ها رفتار مغناطش آلیاز را به صورت تقریب خطی بین حالت کرنش کامل و حالت بدون کرنش در نظر گرفتند. این تقریب خطی خطای نسبتاً قابل توجهی را در مدل‌سازی ایجاد می‌کند و همچنین مدل ارائه شده را نیازمند استخراج منحنی مغناطش با آزمایش تجربی در هر میدان بایاس و هر ابعاد آلیاز می‌کند. برونو و همکاران [11] با انتخاب پیکربندی "شکل 1" و مدل‌سازی رفتار آلیاز حافظه‌دار مغناطیسی به کمک روابط ساختاری پایه ترمودینامیکی، مدلی ضمنی برای محاسبه ولتاژ خروجی سیستم ارائه دادند. نتایج شبیه‌سازی آن‌ها تا فرکانس ۷۰ هرتز با اضافه کردن اثرات میدان مغناطسی‌زاده مطابقت خوبی با نتایج آزمایشات نشان داد. این مدل به دلیل استفاده از تابع سخت‌شوندگی سینوسی و در نظر نگرفتن نحوه توزیع نفوذ میدان در آلیاز خطای زیادی (تا ۳۸ درصد) در پیش‌بینی رفتار آلیاز در فرکانس‌های بالا و ضخامت‌های زیاد آلیاز دارد. همچنین به دلیل محاسبه فاکتورهای مغناطیسی‌زاده از روش اجزاء محدود و طولانی بودن این روش، تنها برای یک حالت ابعادی فاکتورها به دست آمده و اثر ابعاد به طور مستقیم بررسی نشده است. نلسون و همکاران [12] با محاسبات تئوری و انجام آزمایشات تجربی با استفاده از تجهیزات برونو اثرات شرایط مرزی دو سر نمونه آلیاز را روی ولتاژ برداشتی بررسی کردند. آن‌ها

<sup>1</sup> Energy harvesting

<sup>2</sup> Smart materials

<sup>3</sup> Magnetic shape memory alloys (MSMAs)

<sup>4</sup> Faraday's induction law

محدود محاسبه شود. همین محدودیت سبب شده تا در کارهای قبلی، اثر تغییر ابعاد آلیاز در برداشت انرژی بررسی نشود. علاوه بر این، تحقیقات ذکر شده روی یکی از پیکربندی‌های ۱ یا ۲ به صورت جداگانه انجام شده و بعلت بکسان نبودن ابعاد و پارامترها، از لحاظ انرژی برداشتی و سایر قابلیت‌ها قابل مقایسه نیستند.

به بیان خلاصه‌تر، با توجه به اطلاعات نویسنده‌گان تاکنون تحقیقی در ارتباط با بررسی اثر ابعاد بر میزان ولتاژ برداشتی از برداشت کننده‌های آلیاز حافظه‌دار مغناطیسی در دو پیکربندی ذکر شده صورت نپذیرفته است، و در این مقاله به مطالعه‌ی این موضوع پرداخته شده است. این تحقیق می‌تواند علاوه بر مشخص نمودن رفتار برداشت کننده نسبت به تغییرات ابعاد، مقدمه‌ای بر بهینه‌سازی ابعادی این نوع برداشت کننده‌ها را فراهم آورد.

در این مقاله ابتدا مدل‌های دو مکانیزم با پیکربندی‌های ۱ و ۲ ارائه می‌شوند به طوری که رفتار آلیاز حافظه‌دار مغناطیسی از معادلات ساختاری استخراج شود. در ادامه معادله تحلیلی برای محاسبه فاکتور مغناطیسی زدایی در نمونه‌های مکعب مستطیل فرم‌مغناطیسی برای آلیاز استفاده شده و با نتایج موجود در کارهای قبلی مقایسه می‌شود. نهایتاً هردو مدل با تغییر ابعاد آلیاز شبیه‌سازی شده و نتایج مقایسه و بررسی می‌شوند.

## ۲- مدل سازی برداشت کننده انرژی

### ۲-۱- مدل آلیاز حافظه‌دار مغناطیسی

تاکنون برای شبیه‌سازی رفتار آلیازهای حافظه‌دار مغناطیسی در فاز مارتنتزیت مدل‌های زیادی با رویکردهای مختلف ارائه شده است. با توجه به ورودی‌های کرنش و خروجی خواص مغناطیسی آلیاز که برای شبیه‌سازی سیستم برداشت انرژی لازم است، روش پایه ترمودینامیکی کیفر و لاگوداس گزینه مناسبی می‌باشد [۱۸, ۱۷]. در این روش، ابتدا فرض می‌شود که آلیاز حافظه‌دار مغناطیسی از سه متغیر<sup>۱</sup> مارتنتزیتی تشکیل شده که سه جهت‌گیری محتمل یک سلول مکعب مستطیل را نشان می‌دهد. در شرایط بارگذاری دومحوری، فرضیات به وجود تنها دو متغیر مارتنتزیتی نوع ۱ و ۲ محدود می‌شود. متغیر ۲ با کسر حجمی  $\xi$  در راستای  $\alpha$  مغناطیسی می‌شود در حالی که متغیر ۱ با کسر حجمی  $\xi - 1$  بردارهای مغناطیسی در راستای  $\times$  دارد. اعمال میدان مغناطیسی یا تنش-کرنش تک محوره در یک راستا باعث افزایش کسر حجمی متغیر مربوطه می‌شود.

در غیاب میدان مغناطیسی، این دو متغیر می‌توانند تنها در یکی از دو حوزه مغناطیسی ماده موجود باشند. کسر حجمی ناحیه مغناطیسی با  $\alpha$  مشخص می‌شود بنابرین متغیرهای نوع ۱ و ۲ در کسر حجمی  $(\alpha - 1)$  از ماده وجود ندارند. البته آزمایشات نشان می‌دهد که اعمال میدان‌های مغناطیسی اندک (نسبت به میدان‌های بایاس مورد استفاده در برداشت انرژی) کسر حجمی ناحیه مغناطیسی را به یک می‌رساند.

در اثر اعمال میدان مغناطیسی خارجی، بردارهای مغناطیسی می‌توانند از محور اصلی شان منحرف شوند. "شکل ۳" جهت بردارهای مغناطیسی و محورهای اصلی مغناطیسی (محور آسان<sup>۲</sup>) را به همراه زوایای انحرافشان نشان می‌دهد.

با توجه به "شکل ۳" و در نظر گرفتن بارگذاری دو بعدی در سیستم‌های برداشت انرژی مورد نظر، معادله مغناطش ماده را می‌توان بصورت رابطه (۱) نوشت.

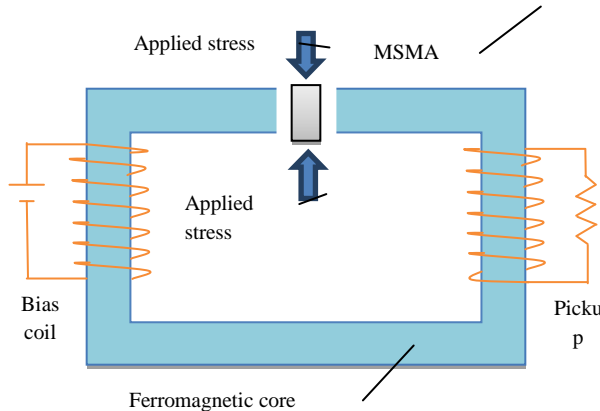


Fig. 2 Schematic of energy harvesting system with configuration 2

شکل ۲ شماتیک سیستم برداشت کننده انرژی با پیکربندی ۲

برداشتی به صورت تجربی بررسی کردند. همچنین با تغییر مقاومت مصرف-کننده الکتریکی و افزودن خازن بصورت سری، شرایط تحويل حداکثر توان به مدار را در فرکانس‌های تا ۸۰ هرتز مدل‌سازی و آزمایش کردند. در این مدار بررسی اثرات المان‌های الکتریکی مصرف‌کننده، علاوه بر مدار مغناطیسی مدار الکتریکی هم اضافه شده است. در فرکانس‌های بالاتر تا ۳۰۰ هرتز، سارن و همکاران [۱۶] با ارائه مدل و پیکربندی مشابه، توان تحويلی به مدار الکتریکی را نزدیک به نتایج تجربی حتی در شرایط تشیده‌ی الکتریکی مصرف-کننده شبیه‌سازی کردند. کول و همکاران [۱۵] یک برداشت کننده با پیکربندی مشابه "شکل ۲" و ابعاد مینیاتوری (کمتر از چند سانتی‌متر) ساختند و با استفاده از مدار معادل مغناطیسی و منحنی مغناطش آلیاز حافظه‌دار مغناطیسی رفتار آن را مدل کردند. نتایج آزمایشات آن‌ها در فرکانس‌های چند هرتز با محاسبات مدل مطابقت قابل قبولی داشتند. همه‌ی مدل‌های ارائه شده برای شبیه‌سازی رفتار سیستم با پیکربندی "شکل ۲" از منحنی تجربی مغناطش آلیاز برای بدست آوردن این رفتار استفاده کردند که نیازمند استخراج منحنی مغناطش در هر میدان بایاس و هر ابعاد آلیاز است. بنابراین در هیچ‌کدام از مدل‌های ارائه شده برای پیکربندی "شکل ۲" اثرات تغییر ابعاد آلیاز بر انرژی برداشتی بررسی نشده است. همان‌طور که در مدل سازی مکانیزم برداشت کننده با پیکربندی ۱ اشاره شده، در مورد مکانیزم با پیکربندی ۲ هم می‌توان با استفاده از یک مدل مناسب مثل مدل ترمودینامیکی کیفر و لاگوداس [۱۷] رفتار مغناطیسی آلیاز حافظه‌دار مغناطیسی را تحت تنش-کرنش شبیه‌سازی کرد. با وارد کردن این نتایج در مدل مدار مغناطیسی، می‌توان رفتار سیستم را پیش‌بینی کرد [۱۳]. این روش به علت استفاده از معادلات ساختاری برای بدست آوردن مغناطش آلیاز در شرایط بارگذاری مختلف، قابلیت پیش‌بینی تأثیر تغییرات پارامترهای مختلف این سیستم را فراهم می‌نماید. همچنین با توجه به ارائه نتایج در هر مقدار کرنش، الگوی رفتار با دقت مناسب در لحظه از بارگذاری قابل دسترسی است [۱۳]. از طرفی استفاده از این مدل نیازمند داشتن مشخصاتی از آلیاز مثلاً ثوابت کالیبراسیون و فاکتورهای مغناطیسی زدایی<sup>۳</sup> است. ثوابت کالیبراسیون به ترکیب آلیاز و نحوه ساخت آن وابسته است و با آزمایش روی یک نمونه برای سایر نمونه‌های مشابه قابل استفاده است. در مورد فاکتور مغناطیسی زدایی که میدان مغناطیسی داخلی ماده فرم‌مغناطیسی در جهت مخالف میدان اعمالی را نشان می‌دهد، با توجه به وابستگی به ابعاد نمونه، باید برای هر قطعه با آزمایش یا روش‌های المان

<sup>1</sup> Demagnetization factor

<sup>2</sup> variant

<sup>3</sup> Easy axis

که  $\sigma$  تنش اعمالی،  $\epsilon^{r,\max}$  حداکثر کرنش جهت‌گیری مجدد متغیرها،  $\Delta S$  اختلاف سختی،  $m_0$  گذردهی خلا و  $(\xi)$  تابع سخت‌شوندگی هستند. برای آلیازهای حافظه دار مغناطیسی، توابع سخت‌شوندگی متفاوتی از جمله نمائی، مثلثاتی، چند جمله‌ای و ... به کار گرفته شده‌اند [17,7]. در این پژوهش برای افزایش دقت نتایج با توجه به شرایط بارگذاری از تابع سخت‌شوندگی هایپربولیک به صورت رابطه (5) استفاده می‌شود [13].

$$f^{\xi}(\xi) = \begin{cases} A(1 + \tanh^{-1}(2\xi - 1))d\xi + (B_1 + B_2)\xi, & \dot{\xi} > 0 \\ C(1 + \tanh^{-1}(2\xi - 1))d\xi + (B_1 - B_2)\xi, & \dot{\xi} < 0 \end{cases} \quad (5)$$

در نهایت  $\dot{\xi}$  به کمک شرط کن-تاکر<sup>4</sup> که به صورت رابطه (6) است، بدست خواهد آمد.

$$\pi^{\xi} = \begin{cases} +Y, & \dot{\xi} > 0 \\ -Y, & \dot{\xi} < 0 \end{cases} \quad (6)$$

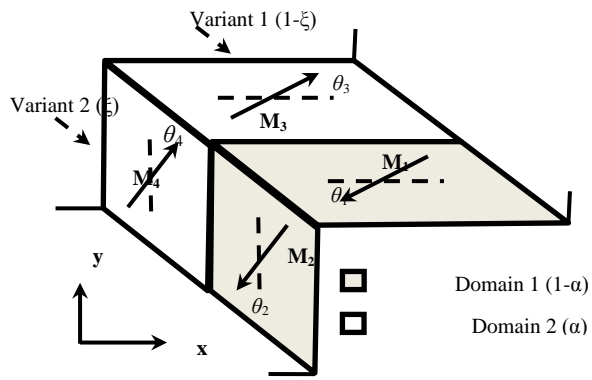
در روابط (5) و (6)،  $A$  و  $B_1$  و  $B_2$  و  $C$  ثابتی هستند که به وسیله کالیبراسیون تعیین می‌شوند. مدل با در نظر گرفتن میدان مغناطیسی اعمالی ثابت و بارگذاری متغیر کالیبره می‌شود. در این روش از مقادیر نیروی حرکت-ی ترمودینامیکی در آغاز و پایان فرایند چرخش بردار متغیرهای داخلی از 1 به 2 و بالعکس در میدان موردنظر بعلوی شرط پیوستگی انرژی آزاد گیبس مطابق روابط (7) استفاده می‌شود.

$$\begin{aligned} \pi_{1 \rightarrow 2}^{\xi,s} &= +Y \\ \pi_{1 \rightarrow 2}^{\xi,f} &= +Y \\ \pi_{2 \rightarrow 1}^{\xi,s} &= -Y \\ \pi_{2 \rightarrow 1}^{\xi,f} &= -Y \end{aligned} \quad (7)$$

که نماد  $s$  بیانگر شروع و نماد  $f$  بیانگر پایان فرایند جهت‌گیری مجدد بردار متغیرهای داخلی و رابطه آخر شرط پیوستگی انرژی آزاد گیبس است. حل عددی معادلات (1) تا (7) به کمک نرم افزارهای محاسباتی مثل متلب<sup>5</sup>، رفتار آلیاز از جمله مغناطش آن را در هر راستا بدست می‌دهد. باید توجه داشت که بازه‌های زمانی برای حل عددی باید به اندازه کافی کوچک انتخاب شوند تا بتوانند رفتار آلیاز را به طور کامل مشخص کنند. از سوی دیگر، کوچک کردن بیش از اندازه این بازه‌ها باعث افزایش حجم محاسبات و در نتیجه بیشتر شدن زمان حل می‌شود در حالی که افزایش دقت نتایج را در بی ندارد. برای انتخاب بازه‌های زمانی مناسب کافیست بازه‌ها تا همگرایی جواب کوچک شوند [18].

## 2- محاسبه فاکتور مغناطیسی‌زدایی

وقتی میدان مغناطیسی خارجی به قطعه‌ای از ماده فرومغناطیسی اعمال می‌شود، مطابق "شکل 4" تعدادی از قطب‌های مغناطیسی داخل ماده در جهت مخالف میدان اعمالی فرار می‌گیرند و باعث ایجاد میدان مغناطیسی داخلی ماده در جهت خلاف میدان اعمالی می‌شوند. این میدان مغناطیسی داخلی ماده در جهت ایجاد میدان مغناطیسی‌زدایی<sup>6</sup> نامیده می‌شود، با مغناطش ماده متناسب است. ضریب این تناسب فاکتور مغناطیسی‌زدایی نامیده می‌شود و با نسبت میدان مغناطیسی‌زدایی به مغناطش ماده برابر است. به این ترتیب شدت واقعی میدان در قطعه با تفاضل میدان مغناطیسی‌زدایی از میدان مغناطیسی اعمالی مطابق رابطه (2) بدست می‌آید.



شکل ۳ متفیرها و حوزه‌های مغناطیسی در آلیاز حافظه دار مغناطیسی [13]

شکل ۳ متفیرها و حوزه‌های مغناطیسی در آلیاز حافظه دار مغناطیسی [13]

$$M = \begin{pmatrix} M_x \\ M_y \end{pmatrix} = \xi M^{\text{sat}} \begin{pmatrix} \sin(\theta_4) \\ \cos(\theta_4) \end{pmatrix} + (1 - \xi) M^{\text{sat}} \begin{pmatrix} \cos(\theta_3) \\ \sin(\theta_3) \end{pmatrix} \quad (1)$$

که در آن  $M^{\text{sat}}$  مغناطش اشباع آلیاز و  $\theta_i$ ها انحراف بردار مغناطش داخلی از محور اصلی هستند. برای مواد فرومغناطیسی، میدان مغناطیسی مؤثر با میدان مغناطیسی اعمالی به علت وجود اثرات مغناطیسی‌زدایی متفاوت بوده و از رابطه (2) بدست می‌آید.

$$\begin{pmatrix} H_x^{\text{eff}} \\ H_y^{\text{eff}} \end{pmatrix} = \begin{pmatrix} H_x^{\text{app}} \\ H_y^{\text{app}} \end{pmatrix} - \begin{pmatrix} D_{xx} & 0 \\ 0 & D_{yy} \end{pmatrix} \begin{pmatrix} M_x \\ M_y \end{pmatrix} \quad (2)$$

که در آن  $H_i^{\text{eff}}$  میدان مغناطیسی مؤثر،  $H_i^{\text{app}}$  میدان مغناطیسی اعمالی،  $D_{ii}$  فاکتور مغناطیسی‌زدایی و  $M_i$  مغناطش داخلی نمونه در جهت  $i$  هستند.

از آن جایی که میدان مغناطیسی تنها در یک جهت مثلاً  $y$  اعمال می‌شود، بنابرین  $H_x^{\text{app}}$  صفر بوده و با جایگذاری رابطه (1) در رابطه (2) می‌توان عبارتی برای میدان مغناطیسی مؤثر بر حسب کسر حجمی متغیر<sup>2</sup>، فاکتور مغناطیسی‌زدایی، زوایای چرخش بردار مغناطیسی و مغناطش اشباع بدست آورد. با استفاده از نامساوی کلزیوس-دوهم<sup>3</sup> برای چرخش بردارهای مغناطش داخلی از محور اصلی می‌توان معادلات (3) را نوشت.

$$\begin{aligned} &\left( M^{\text{sat}}(1 - \xi)(D_{yy} - D_{xx}) + \frac{2\rho K_1}{\mu_0 M^{\text{sat}}} \right) \sin(\theta_3) \cos(\theta_3) \\ &+ M^{\text{sat}} \xi (D_{xx} \sin(\theta_3) \sin(\theta_4) + D_{yy} \cos(\theta_3) \cos(\theta_4)) \\ &- H_y^{\text{app}} \cos(\theta_3) = 0 \end{aligned} \quad (3)$$

$$\begin{aligned} &\left( M^{\text{sat}} \xi (D_{yy} - D_{xx}) - \frac{2\rho K_1}{\mu_0 M^{\text{sat}}} \right) \sin(\theta_4) \cos(\theta_4) \\ &+ M^{\text{sat}}(1 - \xi)(D_{xx} \cos(\theta_3) \cos(\theta_4) + D_{yy} \sin(\theta_3) \sin(\theta_4)) \\ &- H_y^{\text{app}} \sin(\theta_4) = 0 \end{aligned} \quad (3)$$

عبارت  $\rho K_1$  انرژی ناهمسانگردی کریستالی مغناطش<sup>4</sup> است که در برابر چرخش مغناطش مقاومت می‌کند. معادلات (3) سیستمی از معادلات جبری هستند که می‌توان همزمان برای  $\theta_3$  و  $\theta_4$  حل کرد و در رابطه (2) قرار داد.

برای پیدا کردن  $\dot{\xi}$  از نیروی حرکت ترمودینامیکی با استفاده از مشتق گیری جزئی عبارت انرژی آزاد گیبس<sup>5</sup> نسبت به  $\dot{\xi}$  مطابق رابطه (4) بدست می‌آید.

$$\begin{aligned} \pi^{\xi} &= \sigma \epsilon^{r,\max} + \frac{1}{2} \Delta S \sigma^2 - \mu_0 M^{\text{sat}} H_x^{\text{eff}} (\cos(\theta_3) + \sin(\theta_4)) \\ &+ \mu_0 M^{\text{sat}} H_y^{\text{eff}} (\cos(\theta_4) - \sin(\theta_3)) \\ &+ \rho K_1 (\sin^2(\theta_3) - \sin^2(\theta_4)) - \frac{\partial \xi(\xi)}{\partial \xi} \end{aligned} \quad (4)$$

<sup>1</sup> Clausius-Duhem

<sup>2</sup> Magneto crystalline anisotropy energy

<sup>3</sup> Gibb's free energy

<sup>4</sup> Kuhn-Tucker

<sup>5</sup> MATLAB

<sup>6</sup> Demagnetizing field

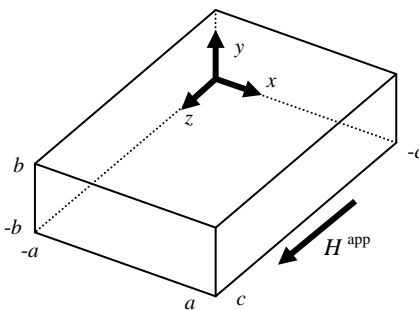


Fig. 5 The coordinate system on prismatic MSMA specimen

شکل 5 دستگاه مختصات روی قطعه آلیاز حافظه‌دار مغناطیسی مکعب مستطیل

جدول 1 نشان می‌دهد مقادیر خطای نسبی در محاسبه فاکتور مغناطیس زدائی به این روش قابل قبول هستند و با توجه اهمیت محاسبه تحلیلی، می‌توان با تقریب خوبی از این روش در سیستم برداشت انرژی استفاده کرد به‌طوری که مقادیر فاکتور مغناطیس زدائی به صورت تابعی از ابعاد نمونه محاسبه شوند.

لازم به ذکر است، رابطه‌ی تحلیلی به کار گرفته شده تقریب بیشتری در محاسبه‌ی مقدار  $D_{xx}$  دارد ولی این پارامتر در محدوده ابعاد مورد بررسی با توجه به مقادیر کم آن تاثیر ناچیزی در میدان مغناطیس زدائی نمونه دارد. همچنین مقدار  $D_{yy}$  که مقادیر بزرگی دارد و تاثیر اصلی را در میدان مغناطیس زدائی و مجامبات رفتار آلیاز می‌گذارد با خطای حداقل 7 درصد راستی آزمائی شده است. لذا می‌توان با توجه به میزان تاثیر هر یک از پارامترهای  $D_{xx}$  و  $D_{yy}$  بر ولتاژ، می‌توان نتایج را معتبر دانست.

### 2-3- مدل مدار مغناطیسی

در مورد پیکربندی 1، با توجه به این که تغییرات مغناطیس به طور مستقیم باعث تغییر شار می‌شوند، تنها کافیست شار عبوری از آلیاز در راستای محور سیم پیچ از رابطه (9) محاسبه شود.

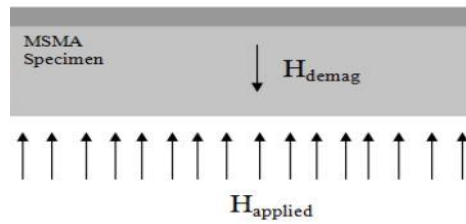
$$\varphi = BA = \mu_0(H^{app} + M) \quad (9)$$

که  $B$  چگالی شار و  $A$  سطح مقطع سیم پیچ است. برای بدست آوردن مدار هم ارز مغناطیسی پیکربندی 2، المان‌های مدار مطابق "شکل 6" مدل می‌شوند. در این مدار، سیم پیچ ایجاد کننده میدان بایاس یا همان منبع نیروی محرکه

جدول 1 مقایسه مقادیر فاکتور مغناطیس زدائی با داده‌های مرجع

Table 1 Comparison of demagnetization factor with reference data

$D_{yy}$ تحلیلی	$D_{yy}$ اجزاء محدود [21,11]	$D_{xx}$ تحلیلی	$D_{xx}$ اجزاء محدود [21,11]	ابعاد (mm)	شماره نمونه
0.468	0.490	0.066	0.080	19.8	1
				2.93	
				2.91	
0.474	0.480	0.072	0.070	18.7	2
				3.08	
0.455	0.490	0.069	0.090	2.94	3
				19.9	
				3.13	
0.466	0.490	0.073	0.080	18.9	4
				3.09	
				3.06	
0.456	0.457	0.088	0.087	10	5
				2	
				2	



شکل 4 میدان مغناطیس زدائی در یک قطعه آلیاز حافظه‌دار مغناطیسی [11]

مقدار فاکتور مغناطیس زدائی برای مقاطع بیضوی و ساده که مغناطیش

یکنواخت دارند به صورت دقیق محاسبه می‌شود ولی در سایر موارد روش‌های تجربی، تقریبی و یا المان محدود برای تقریب این فاکتور براساس هندسه قطعه به کار می‌روند.

با توجه به فیزیک مساله برداشت انرژی و قطعات تجاری موجود آلیاز حافظه‌دار مغناطیسی، شکل قطعه به صورت مکعب مستطیل در نظر گرفته شده و فاکتور مغناطیس زدائی با توجه به ابعاد به دست می‌آید. برای محاسبه فاکتور مغناطیس زدائی در یک قطعه مکعب مستطیل شکل، ابتدا فرض می‌شود که ماده یکنواخت و همگن است. سپس دستگاه مختصات کارتزین مطابق "شکل 5" در گوش مکعب مستطیل قرار داده می‌شود به طوری که محورهای آن موازی وجود مکعب مستطیل باشند. میدان مغناطیسی هم در راستای محور  $z$  اعمال می‌شود [20].

با توجه به ابعاد در نظر گرفته شده برای مکعب مستطیل مطابق "شکل 5"، با استفاده از تئوری محاسبه انرژی مغناطیسی، فاکتور مغناطیس زدائی از رابطه (8) به دست می‌آید [20]. لازم به ذکر است که در این مرجع صراحتاً رابطه تحلیلی و تقریبی برای محاسبه فاکتور مغناطیس زدائی در مواد فرومغناطیس ارائه شده است و به مدل سازی آلیاز و بررسی انرژی برداشتی از آن پرداخته نشده است.

$$\begin{aligned} \pi D_{zz} = & \frac{b^2 - c^2}{2bc} \ln \left( \frac{\sqrt{a^2 + b^2 + c^2} - a}{\sqrt{a^2 + b^2 + c^2} + a} \right) \\ & + \frac{a^2 - c^2}{2ac} \ln \left( \frac{\sqrt{a^2 + b^2 + c^2} - b}{\sqrt{a^2 + b^2 + c^2} + b} \right) \\ & + \frac{b}{2c} \ln \left( \frac{\sqrt{a^2 + b^2} + a}{\sqrt{a^2 + b^2} - a} \right) + \frac{a}{2c} \ln \left( \frac{\sqrt{a^2 + b^2} + b}{\sqrt{a^2 + b^2} - b} \right) \\ & + \frac{c}{2a} \ln \left( \frac{\sqrt{b^2 + c^2} - b}{\sqrt{b^2 + c^2} + b} \right) + \frac{c}{2b} \ln \left( \frac{\sqrt{a^2 + c^2} - a}{\sqrt{a^2 + c^2} + a} \right) \\ & + 2 \arctan \left( \frac{ab}{c\sqrt{a^2 + b^2 + c^2}} \right) + \frac{a^3 + b^3 - 2c^3}{3abc} \\ & + \frac{a^2 + b^2 - 2c^2}{3abc} \sqrt{a^2 + b^2 + c^2} \\ & + \frac{c}{ab} (\sqrt{a^2 + c^2} + \sqrt{b^2 + c^2}) \\ & - \frac{(a^2 + b^2)^{3/2} + (b^2 + c^2)^{3/2} + (c^2 + a^2)^{3/2}}{3abc} \end{aligned} \quad (8)$$

بنابرین برای محاسبه فاکتور مغناطیس زدائی در راستای دلخواه، کافیست ابعاد قطعه مکعب مستطیل و محورهای مختصات مطابق "شکل 5" را در در نظر گرفته شده و از رابطه (8) استفاده شود. برای ارزیابی رابطه (8) در محاسبه فاکتور مغناطیس زدائی نمونه‌های آلیاز حافظه‌دار مغناطیسی، نتایج حل تحلیلی رابطه (8) با مقادیر به دست آمده به کمک روش اجزاء محدود (نرم‌افزار کامسول<sup>۱</sup>) مرجع [11] و مقادیر به دست آمده به کمک روش اجزاء محدود و اندازه‌گیری تجربی مرجع [21] در جدول 1 مقایسه شده‌اند.

<sup>1</sup> COMSOL

با کالیبره کردن مدل آلیاز حافظه‌دار مغناطیسی و انتخاب پارامترهای سیستم برداشت کننده می‌توان مقادیر ولتاژ خروجی را در هردو پیکربندی پیش‌بینی و مقایسه کرد.

### 3- شبیه‌سازی و استخراج نتایج

از آن جایی که فاکتور مغناطیسی زدائی بیانگر مقاومت ماده در برابر اعمال میدان مغناطیسی است، هرچه این فاکتور در یک میدان اعمالی ثابت کمتر شود، میدان مؤثر بیشتری داخل قطعه وجود خواهد داشت. برای بررسی اثر تغییر ابعاد روی مقادیر فاکتور مغناطیسی زدائی در راستاهای مختلف یک نمونه آلیاز حافظه‌دار مغناطیسی، می‌توان از رابطه (8) استفاده کرد. با توجه به این که در فرآیند برداشت انرژی میدان بایان در راستای ضخامت و کرنش در راستای طولی به آلیاز وارد می‌شوند، مطابق رابطه (2) فاکتورهای مغناطیسی زدائی در دو راستای ضخامتی و طولی وارد معادلات ساختاری می‌شوند. "شکل 7" اثر تغییر عرض قطعه در ضخامت‌های مختلف را بر فاکتور مغناطیسی زدائی راستای طولی در یک قطعه با طول 15 میلی‌مترنشان می‌دهد. همان‌طور که "شکل 7" نشان می‌دهد، مقادیر فاکتور مغناطیسی زدائی در راستای طولی نسبتاً کوچک هستند ولی با افزایش عرض و یا ضخامت افزایش پیدا می‌کنند. همچنین افزایش این فاکتور با افزایش عرض قطعه در ضخامت‌های بیشتر سریع‌تر است. به‌طور مشابه، "شکل 8" اثر تغییر عرض را در ضخامت‌های مختلف قطعه روی فاکتور مغناطیسی زدائی راستای ضخامت نشان می‌دهد.

فاکتور مغناطیسی زدائی در راستای ضخامت مطابق "شکل 8" مقادیر بزرگ‌تر را اختیار می‌کند. در واقع قسمت زیادی از میدان اعمالی در راستای ضخامت مطابق رابطه (2) بعنوان میدان مؤثر عمل نمی‌کند. مقدار میدان مؤثر در قطعات نازک حتی به کمتر از نصف میدان اعمالی می‌رسد. همچنین "شکل 8" نشان می‌دهد که فاکتور مغناطیسی زدائی در راستای ضخامت با زیاد شدن عرض قطعه افزایش می‌یابد و این افزایش در ضخامت‌های بالا سریع‌تر می‌شود.

برای شبیه‌سازی رفتار سیستم‌های برداشت انرژی با پیکربندی‌های 1 و 2، ابتدا باید مدل ساختاری آلیاز حافظه‌دار مغناطیسی کالیبره شود. برای این کار مقادیر کمیت‌های لازم در مورد آلیاز پرکاربرد نیکل-منگنز-گالیم مطابق جدول 2 از مرجع استخراج شده‌اند [18].

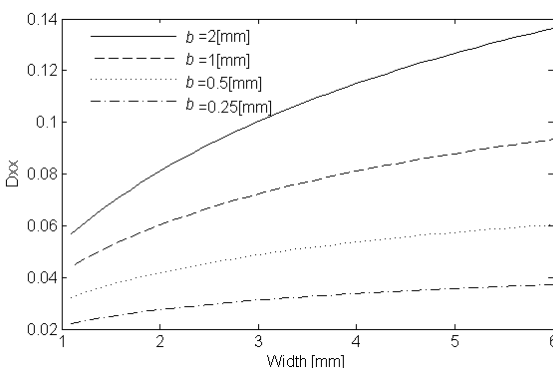


Fig. 7 Demagnetization factor along length of specimen versus width in various thicknesses

شکل 7 تغییرات فاکتور مغناطیسی زدائی در راستای طول با تغییر عرض در ضخامت‌های مختلف

مغناطیسی با MMF نشان داده شده است. همچنین مقاومت مغناطیسی یا رلوکتانس<sup>1</sup> اجزاء مدار شامل هسته، فاصله هوایی، آلیاز حافظه‌دار مغناطیسی و شار نشستی به ترتیب با R1 تا R4 نشان داده شده‌اند. از آنجاییکه رلوکتانس آلیاز و فاصله هوایی در حین اعمال کرنش تغییر می‌کند، این المان‌ها به صورت متغیر نشان داده شده‌اند.

برای به دست آوردن مقادیر رلوکتانس اجزای مدار مغناطیسی "شکل 6" که شار مغناطیسی از آن‌ها عبور می‌کند، به جز قسمت شار نشستی، از رابطه (10) استفاده می‌شود [22].

$$R_i = \frac{l}{\mu A}, i = 1, 2, 3 \quad (10)$$

که در رابطه (10) l طول مسیر عبور شار، A مساحت مقطع عمود برشار و  $\mu$  گذردهی مغناطیسی ماده است. طی اعمال کرنش به آلیاز، فاصله هوایی فقط در اثر تغییر ابعاد دارای رلوکتانس متغیر است در صورتی که آلیاز علاوه بر تغییرات ابعاد، تغییر مغناطیش هم می‌دهد که گذردهی را عوض می‌کند.

در مورد قسمتی که شار نشستی عبور می‌کند، می‌توان از رابطه (11) برای تقریب زدن رلوکتانس استفاده کرد [23].

$$R_4 = \frac{1}{0.26 \mu_0 w} \quad (11)$$

که w عرض فاصله هوایی یا همان عرض هسته فرومغناطیسی است و در طول اعمال کرنش ثابت باقی می‌ماند. بنابرین رلوکتانس این قسمت در طی فرآیند تغییر نمی‌کند. البته در عمل این مقدار با تغییر رلوکتانس قسمت‌های مجاور عوض می‌شود ولی تغییرات آن نسبت به مقادیر مربوط به آلیاز و فاصله هوایی ناچیز و قابل صرفنظر کردن است.

پس از محاسبه مقادیر رلوکتانس اجزاء مدار مغناطیسی در هر حالت، مقدار معادل آن‌ها با توجه به سری یا سری بودن محاسبه می‌شود. نهایتاً با استفاده از رابطه (12) شار عبوری از هسته فرومغناطیسی مدار و همچنین سیم‌پیچ برداشت کننده محاسبه می‌گردد.

$$\varphi = \frac{\text{MMF}}{R} \quad (12)$$

شار عبوری از سیم‌پیچ برداشت کننده در پیکربندی 1 و 2 به ترتیب از روابط (9) و (12) بدست آمده و تغییرات آن نسبت به زمان با ولتاژ خروجی متناسب است. قانون القای فاراده مطابق رابطه (13) این تناسب را با ضریب منفی تعداد دور سیم‌پیچ برداشت کننده به تساوی تبدیل می‌کند.

$$V = -N \frac{\partial \varphi}{\partial t} \quad (13)$$

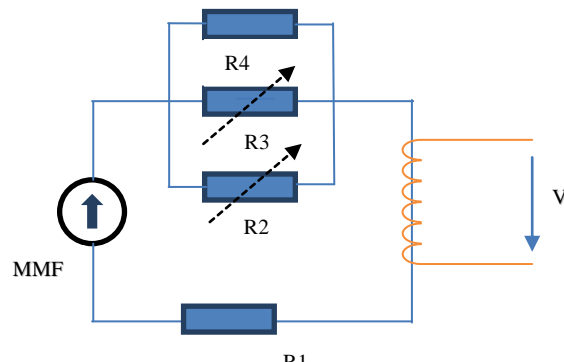
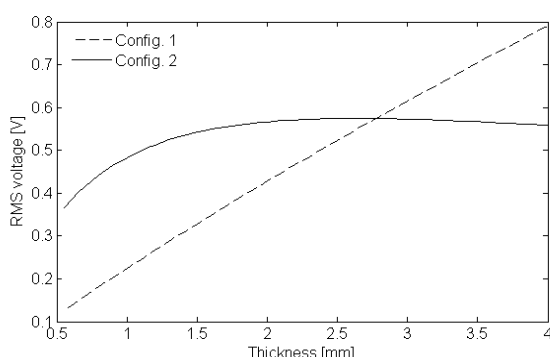


Fig. 6 Equivalent magnetic circuit of configuration 2

شکل 6 مدار مغناطیسی معادل پیکربندی 2

<sup>1</sup> Reluctance



**شکل 9** تغییرات ولتاژ خروجی با تغییر ضخامت آلیاز در دو پیکربندی 1 و 2

برای پیکربندی 2 افزایش ضخامت باعث افزایش ولتاژ خروجی با شیب کمتر و بهصورت غیرخطی در ضخامت‌های کم (تا 2 میلی‌متر در این مسأله) می‌شود. در ضخامت‌های بیشتر ولتاژ خروجی ثابت می‌شود و نهایتاً با شیب سیار کم کاهش می‌یابد. برای تفسیر این رفتار می‌توان گفت که از یک سو میدان مغناطیسی‌زدا در راستای ضخامت مطابق "شکل 8" کاهش می‌یابد و از سوی دیگر با افزایش رلوکتانس مسیر شامل آلیاز، قسمت کمتری از شار از این مسیر عبور می‌کند. بنابرین با افزایش ضخامت، اثرات کاهش میدان مغناطیسی‌زدا کم شده و اثر افزایش رلوکتانس بیشتر می‌شود تا جایی که اثر رلوکتانس بر اثر میدان مغناطیسی‌زدا غلبه می‌کند.

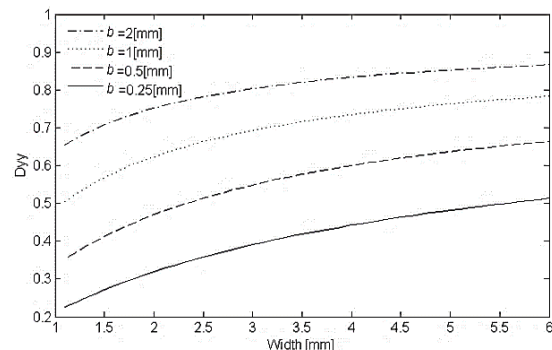
به طور کلی و برای ابعاد مساوی آلیاز در دو پیکربندی، در ضخامت‌های کمتر از 2.5 میلی‌متر ولتاژ خروجی پیکربندی 2 نسبت به پیکربندی 1 بیشتر است و در ضخامت‌های بالاتر بالعکس می‌شود. البته در واقعیت سیستم‌هایی با ضخامت آلیاز بالاتر از 2 میلی‌متر بعلت نیاز به میدان‌های اعمالی خیلی قوی کاربرد عملی ندارند.

به طور مشابه، شبیه‌سازی با پارامترهای جدول 3 در حالتی که عرض نمونه آلیاز تغییر می‌کند در "شکل 10" نشان داده شده است. منظور از عرض آلیاز همان بعد عمود بر صفحه در "شکل‌های 1 و 2" است.

همان‌طور که "شکل 10" نشان می‌دهد، به طور کلی افزایش عرض آلیاز در هر دو پیکربندی باعث افزایش ولتاژ خروجی بهصورت خطی می‌شود. البته شیب این خط در پیکربندی 2 بیشتر از پیکربندی 1 است. در پیکربندی 1 افزایش ولتاژ بهعلت زیاد شدن سطح مقطع سیم پیچ برداشت کننده است در صورتی که در پیکربندی 2 ولتاژ بخارتر افزایش شار عبوری از مسیر شامل آلیاز زیاد می‌شود. مزیتی که افزایش عرض آلیاز در تولید ولتاژ‌های بالاتر دارد، این است که نیاز به میدان اعمالی بیشتری ندارد و فقط باعث بزرگ شدن ابعاد برداشت کننده می‌شود.

برای بررسی اثر تغییر طول نمونه آلیاز در ولتاژ خروجی برداشت کننده، مدل پیکربندی‌های 1 و 2 با پارامترهای جدول 3 در طول‌های مختلف آلیاز شبیه‌سازی شده‌اند. منظور از طول بعدی از نمونه است که در راستای اعمال کرنش نمونه قرار دارد. "شکل 11" نتایج این شبیه‌سازی‌ها را نشان می‌دهد.

مطابق "شکل 11"، ولتاژ خروجی پیکربندی 1 با تغییر طول نمونه عوض نمی‌شود. دلیل این رفتار ثابت ماندن رفتار مغناطیسی آلیاز در راستای طولی و کم بودن تأثیر میدان مغناطیسی‌زدائی در این راستا است. از سوی دیگر عرض و ضخامت نمونه آلیاز ثابت است و سطح مقطع سیم پیچ برداشت کننده عوض نمی‌شود. بنابرین مطابق رابطه (9) تغییرات شار عبوری ثابت بوده و ولتاژ خروجی با توجه به سایر پارامترها مقدار ثابتی باقی می‌ماند.



**شکل 8** تغییر فاکتور مغناطیسی‌زدائی در راستای ضخامت با تغییر عرض در ضخامت‌های مختلف

بعد از کالیبراسیون مدل با استفاده از داده‌های جدول 2، پارامترهای دو پیکربندی 1 و 2 مطابق جدول 3 طوری انتخاب می‌شوند که به مقادیر واقعی نزدیک بوده و قابلیت ساخت داشته باشند.

نتایج شبیه‌سازی مدل هریک از دو پیکربندی 1 و 2 با پارامترهای ارائه شده در جدول 3 در حین تغییر ضخامت آلیاز در "شکل 9" نشان داده شده است. در این شبیه‌سازی فرض شده که فاصله هوایی بین آلیاز و هسته در پیکربندی 2 همواره ثابت می‌ماند. در واقع با هر مقدار افزایش ضخامت آلیاز، طول فاصله هوایی به همان اندازه زیاد می‌شود.

نتایج شبیه‌سازی در "شکل 9" نشان می‌دهد که برای پیکربندی 1 افزایش ضخامت به طور خطی ولتاژ خروجی را افزایش می‌دهد. این افزایش بعلت زیاد شدن ضخامت آلیاز و در نتیجه افزایش سطح مقطع سیم پیچ برداشت کننده است. البته میدان مغناطیسی‌زدائی هم روی تغییرات مغناطش اثر دارد که بعلت کوچک بودن مقادیر آن مطابق "شکل 7"، اثرات ناچیزی روی مغناطش ماده و نتیجتاً ولتاژ خروجی دارد.

**جدول 2** خواص آلیاز حافظه‌دار نیکل-منگنز-گالیم و داده‌های کالیبراسیون [18]

**Table 2** MSMA properties and calibration data[18]

واحد	مقدار	کمیت	واحد	مقدار	کمیت
MPa	-2.3	$\sigma^{(2,1)}$	$j.m^{-3}$	$1.9 \times 10^5$	$\rho K_1$
MPa	-3.3	$\sigma^{(f,2,1)}$	$A.m^{-1}$	572490	$M^{sat}$
MPa	-1.0	$\sigma^{(1,2)}$	%	6.412	$\epsilon^{r,max}$
MPa	0.0	$\sigma^{(f,1,2)}$	$H.m^{-1}$	$4\pi \times 10^{-7}$	$\mu_0$
Pa <sup>-1</sup>	$5.29 \times 10^{-11}$	S1=S2	$S.m^{-1}$	$1.613 \times 10^8$	$\bar{\sigma}$

**جدول 3** پارامترهای انتخاب شده برای سیستم برداشت انرژی

**Table 3** Selected parameters for energy harvesting system

واحد	مقدار	پارامتر
%	4	حداکثر کرنش
T	0.6	میدان بایاس
turn	500	تعداد دور سیم پیچ برداشت کننده
mm <sup>3</sup>	$15 \times 2.5 \times 1$	ابعاد آلیاز
mm <sup>2</sup>	$15 \times 3.5$	ابعاد مقطع هسته
-	2000	گذردهی نسبی هسته
cm	10	طول هسته
cm	5	عرض هسته

ضخامت آلیاز به صورت خطی افزایش می‌یابد. در پیکربندی هسته‌دار این رابطه خطی نیست و حتی فقط در ضخامت‌های کم افزایشی است و بعد از آن متوقف شده و حتی به صورت کاهشی در می‌آید.

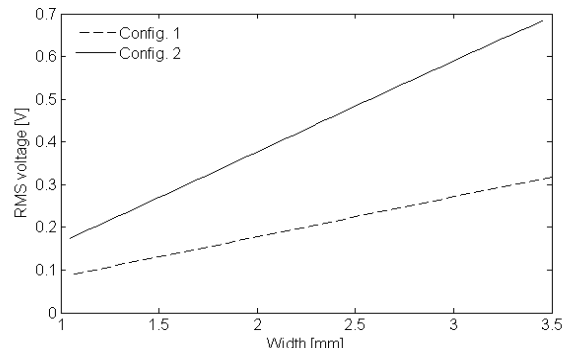
افزایش عرض آلیاز در هر دو پیکربندی افزایش ولتاژ را با رابطه‌ای خطی در پی دارد. البته در پیکربندی هسته‌دار مقادیر این ولتاژها بیشتر بوده و شبیه افزایش آن هم بیشتر است.

با افزایش طول آلیاز، ولتاژ در حالی که در پیکربندی هسته‌دار علاوه بر بیشتر بودن مقادیر به صورت خطی هم افزایش می‌یابد.

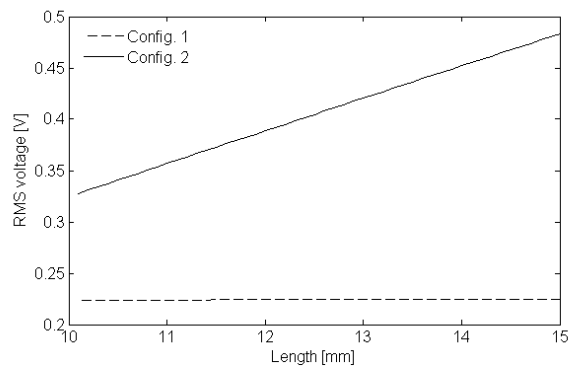
چنان‌چه طول و عرض آلیاز با توجه به محدودیت ساخت نمونه تعیین گردد، آلیاز با ضخامت 2 میلی‌متر در پیکربندی 2 بیشترین انرژی برداشتی را ارائه می‌دهد. از سوی دیگر تامین میدان بایاس نیاز برای برگشت‌پذیری کرنش‌ها در چنین فاصله‌ای (0.6 تسل) با استفاده از آهنرباهای دائم امکان پذیر است. این در صورتیست که در پیکربندی 1 هرچه عرض و ضخامت آلیاز را افزایش دهیم، ولتاژ برداشتی نیز افزایش می‌یابد. باید توجه داشت که در مورد ابعاد بهینه آلیاز که بیشترین ولتاژ را در سیم‌پیچ برداشت کننده القا کند بدون در نظر گرفتن اثر سایر متغیرها مثل میدان مغناطیسی بایاس، هسته فرو芒ناطیسی (در پیکربندی 2) و حتی اثر ابعاد بر یکدیگر نمی‌توان منحصر پاسخی ارائه کرد. برای به دست آوردن ابعاد بهینه در هر سیستم مورد نظر کافیست مطابق روش ارائه شده با مشخص کردن پارامترهایی که از محدودیت‌های تولید یا کاربرد هستند ابعاد بهینه آلیاز را برای برداشت ماقریم انرژی مشخص کرد.

## 5- مراجع

- [1] R. T. M. Karimi, S. Ziaerad, Piezoelectric energy harvesting from bridge vibrations under moving consecutive masses, *Modares Mechanical Engineering*, Vol. 16, No. 6, pp. 108-118, 2016. (in Persian)
- [2] K. J. M. R. Asgharzade, A. Kianpour, M. Homayounsadeghi, Investigating Energy Harvesting from Unimorph Trapezoidal Beam Vibrations Using Distributed Parameters Method, *Modares Mechanical Engineering*, Vol. 14, No. 15, pp. 96-102, 2014. (in Persian)
- [3] S. P. Beeby, M. J. Tudor, N. White, Energy harvesting vibration sources for microsystems applications, *Measurement Science and Technology*, Vol. 17, No. 12, pp. R175, 2006.
- [4] R. J. Tickle, *Ferrromagnetic shape memory materials*, PhD Thesis, University of Minnesota, Minneapolis, 2000.
- [5] R. L. Boylestad, L. Nashelsky, *Introduction to electricity, electronics, and electromagnetics*, pp. 310-318: Prentice Hall, 2002.
- [6] I. Suorsa, J. Tellinen, K. Ullakko, E. Pagounis, Voltage generation induced by mechanical straining in magnetic shape memory materials, *Journal of Applied Physics*, Vol. 95, No. 12, pp. 8054-8058, 2004.
- [7] V. A. Chernenko, S. Bessegini, Ferromagnetic shape memory alloys: Scientific and applied aspects, *Sensors and Actuators A: Physical*, Vol. 142, No. 2, pp. 542-548, 2008.
- [8] O. Guttfleisch, M. A. Willard, E. Brück, C. H. Chen, S. Sankar, J. P. Liu, Magnetic materials and devices for the 21st century: stronger, lighter, and more energy efficient, *Advanced Materials*, Vol. 23, No. 7, pp. 821-842, 2011.
- [9] M. R. Zakerzadeh, S. Shaki, M. Ayati, O. Jedinia, Modeling and experimental verification of a magnetic shape memory alloy actuator behavior using modified generalized rate-dependent Prandtl-Ishlinskii model, *Modares Mechanical Engineering*, Vol. 16, No. 11, pp. 389-396, 2016. (in Persian)
- [10] I. Karaman, B. Basaran, H. Karaca, A. Karsilayan, Y. Chumlyakov, Energy harvesting using martensite variant reorientation



شکل 10 تغییرات ولتاژ با تغییر عرض آلیاز در دو پیکربندی 1 و 2



شکل 11 تغییرات ولتاژ با تغییر طول آلیاز در دو پیکربندی 1 و 2

در مورد پیکربندی 2، "شکل 11" افزایش ولتاژ را با زیاد کردن طول نمونه نشان می‌دهد. در این پیکربندی با افزایش طول نمونه آلیاز، قسمت بیشتر شار از مسیر شامل آلیاز عور می‌کند و در نتیجه، بیشتر تحت تأثیر تغییرات مغناطیش حین کرنش قرار می‌گیرد و تغییرات شار و به دنبال آن ولتاژ خروجی افزایش می‌یابد.

به طور خلاصه، چنانچه طول و عرض آلیاز با توجه به محدودیت ساخت نمونه تعیین گردد، آلیاز با ضخامت 2 میلی‌متر در پیکربندی 2 بیشترین انرژی برداشتی را ارائه می‌دهد. از سوی دیگر تامین میدان بایاس نیاز برای برگشت‌پذیری کرنش‌ها در چنین فاصله‌ای (0.6 تسل) با استفاده از آهنرباهای دائم امکان‌پذیر است. این در صورتیست که در پیکربندی 1 هرچه عرض و ضخامت آلیاز را افزایش دهیم، ولتاژ برداشتی نیز افزایش می‌یابد.

## 4- نتیجه‌گیری

در این پژوهش، دو مدل از پیکربندی رایج در برداشت انرژی با آلیاز حافظه‌دار مغناطیسی برای بررسی تغییرات ولتاژ خروجی در اثر تغییر ابعاد آلیاز به کار گرفته شدند. در این مدل‌ها رفتار آلیاز طی اعمال کرنش از روابط ساختاری به دست می‌آید. در ابعاد مختلف مقادیر فاکتور مغناطیسی‌زدایی که در روابط ساختاری به کار می‌روند با استفاده از رابطه تحلیلی موجود برای نمونه‌های مواد فرمومغناطیسی مکعب مستطیلی محاسبه و با داده‌های موجود در مرجع ارزیابی شده است. همچنین اثر تغییرات ابعاد روی مقادیر فاکتور مغناطیسی‌زدایی در راستای طولی و راستای ضخامت بررسی و در تحلیل نتایج شبیه‌سازی دو سیستم بکار می‌رود.

تغییر ابعاد آلیاز در هر دو پیکربندی باعث ایجاد تغییرات در ولتاژ خروجی می‌شود. ولتاژ خروجی در پیکربندی با سیم‌پیچ دور آلیاز با افزایش

- Vol. 24, No. 9, pp. 95-101, 2015.
- [17]B. Kiefer, D. C. Lagoudas, Magnetic field-induced martensitic variant reorientation in magnetic shape memory alloys, *Philosophical Magazine*, Vol. 85, No. 33-35, pp. 4289-4329, 2005.
- [18]A. B. Waldauer, H. P. Feigenbaum, C. Ciocanel, N. M. Bruno, Improved thermodynamic model for magnetic shape memory alloys, *Smart Materials and Structures*, Vol. 21, No. 9, 2012.
- [19]M. Shirani, M. Kadkhodaei, A modified constitutive model with an enhanced phase diagram for ferromagnetic shape memory alloys, *Journal of Intelligent Material Systems and Structures*, Vol. 26, No. 1, pp. 56-68, 2015.
- [20]A. Aharoni, Demagnetizing factors for rectangular ferromagnetic prisms, *Journal of applied physics*, Vol. 83, No. 6, pp. 3432-3434, 1998.
- [21]T. Shield, Magnetomechanical testing machine for ferromagnetic shape-memory alloys, *Review of Scientific Instruments*, Vol. 74, No. 9, pp. 4077-4088, 2003.
- [22]J. D. Irwin, R. M. Nelms, *Basic engineering circuit analysis*, 9th ed., pp. 175-176: Wiley Publishing, 2008.
- [23]W. A. Roshen, Fringing field formulas and winding loss due to an air gap, *IEEE*, Vol. 43, No. 8, pp. 3387-3394, 2007.
- mechanism in a NiMnGa magnetic shape memory alloy, *Applied Physics Letters*, Vol. 90, No. 17, pp. 172505, 2007.
- [11]N. M. Bruno, C. Ciocanel, H. P. Feigenbaum, A. Waldauer, A theoretical and experimental investigation of power harvesting using the NiMnGa martensite reorientation mechanism, *Smart Materials and Structures*, Vol. 21, No. 9, pp. 094018, 2012.
- [12]I. Nelson, C. Ciocanel, D. LaMaster, H. Feigenbaum, The Impact of Boundary Conditions on the Response of NiMnGa Samples in Actuation and Power Harvesting Applications, *Proceeding of ASME 2013 Conference on Smart Materials, Adaptive Structures and Intelligent Systems*, Utah, USA, September 16-18, 2013.
- [13]H. Sayyaadi, M. A. A. Farsangi, Frequency-dependent energy harvesting via magnetic shape memory alloys, *Smart Materials and Structures*, Vol. 24, No. 11, pp. 115022, 2015.
- [14]A. J. Niskanen, I. Laitinen, Design and simulation of a magnetic shape memory (MSM) alloy energy harvester, *Advances in Science and Technology*, Vol. 78, No. 2, pp. 58-62, 2013.
- [15]M. Kohl, R. Z. Yin, V. Pinneker, Y. Ezer, A. Sozinov, A miniature energy harvesting device using martensite variant reorientation, *Materials Science Forum*, Vol. 738, No. 8, pp. 411-415, 2013.
- [16]A. Saren, D. Musiienko, A. Smith, J. Tellinen, K. Ullakko, Modeling and design of a vibration energy harvester using the magnetic shape memory effect, *Smart Materials and Structures*,